

Sterowanie Procesami - projekt 2, zadanie 2.16

Kamil Foryszewski

4 czerwca 2017

Spis treści

1	Polecenie	2
2	Transmitancja dyskretna	2
3	Równanie różnicowe	2
4	Dobór regulatora PID metodą Zieglera-Nicholsa	3
4.1	Dyskretny regulator PID	5
5	Symulacja cyfrowego algorytmu PID oraz DMC	5
5.1	Symulacja dyskretnego algorytmu PID	5
5.2	Symulacja algorytmu DMC w wersji analitycznej	6
6	Dobór parametrów algorytmu DMC	6
6.1	Parametry początkowe	6
6.2	Skracanie horyzontu predykcji	7
6.3	Wpływ długości horyzontu sterowania	8
6.4	Parametr kary λ	8
6.5	Parametry dostrojonego regulatora DMC	9
7	Obszary stabilności	10
7.1	Porównanie algorytmów PID i DMC	10
7.2	Stabilność cyfrowego redulatora PID	11
7.3	Stabilność regulacji DMC	12
8	Symulacja algorytmu GPC	12
9	Dobór parametrów algorytmu GPC	12
9.1	Horyzont dynamiki	12
9.2	Horyzont Predykcji	12
9.3	Horyzont sterowania	12
9.4	Współczynnik kary λ	12
10	Stabilność algorytmu regulacji GPC	12
11	Porównanie algorytmów DMC i GPC	12
11.1	Skokowa zmiana wartości zadanej	12
11.2	skokowa zmiana zakłócenia	12

1 Polecenie

Obiekt regulacji jest opisany transmitancją:

$$G(s) = \frac{K_0 e^{-T_0 s}}{(T_1 s + 1)(T_2 s + 1)} = \frac{3.5 e^{-T_0 s}}{10.04 s^2 + 7.02 s + 1}$$

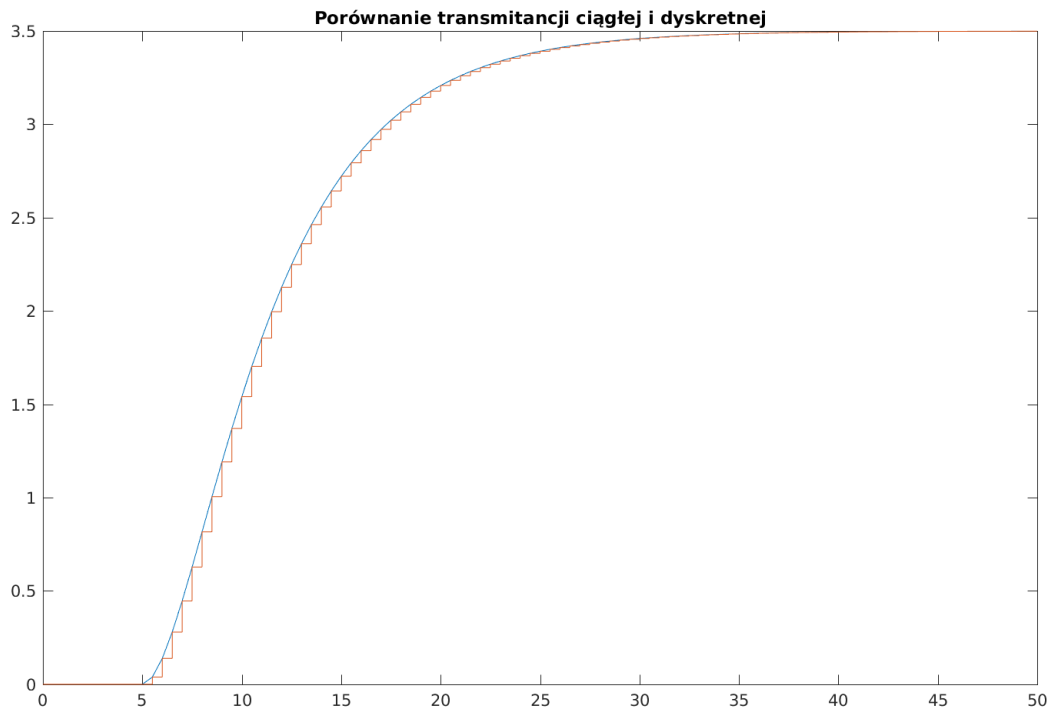
Gdzie: $K_0 = 3.5, T_0 = 5, T_1 = 2, T_2 = 5.02$

2 Transmitancja dyskretna

Wyznaczona transmitancja dyskretna ma następującą postać:

$$G(z) = z^{-10} \frac{0.0388z + 0.0346}{z^2 - 1.684z + 0.705}$$

Została wyznaczona przy pomocy polecenia `c2d` pakietu matlab.



Rysunek 1: Odpowiedź skokowa transmitancji ciągłej i dyskretniej

Odpowiedź skokowa obu transmitancji w przybliżeniu jest taka sama. Odpowiedzi skokowe obliczone jako granice transmitancji przy argumentach s dążącym do 0 i z dążącym do 1 są również bardzo zbliżone. Wzmocnienie statyczne transmitancji ciągłej $K_c = 5$, natomiast wzmocnienie statyczne transmitancji dyskretniej $K_d = 5.0572$

3 Równanie różnicowe

Korzystając z transmitancji możemy wyznaczyć równanie różnicowe opisujące obiekt w postaci:

$$y(k) = \sum_{i=1}^n b_i y(k-i) + \sum_{i=1}^m c_i u(k-i)$$

Należy zatem przekształcić transmitancję do następującej postaci:

$$G(z) = \frac{0.0388z^{-11} + 0.0346z^{-12}}{z - 1.684z^{-1} + 0.705z^{-2}} = \frac{Y(z)}{U(z)}$$

Po przekształceniu:

$$Y(z)(1 - 1.6840z^{-1} + 0.7050z^{-2}) = U(z)(0.0388z^{-11} + 0.0346z^{-12})$$

Skąd możemy bezpośrednio przejść do równania różnicowego:

$$y(k) = 1.684y(k-1) - 0.705y(k-2) + 0.0388u(k-11) + 0.0346u(k-12) \quad (1)$$

4 Dobór regulatora PID metodą Zieglera-Nicholsa

Transmitancja ciągłego regulatora PID wygląda następująco:

$$R(s) = k_r(1 + \frac{1}{T_i s} + T_d s) = K_p + K_i \frac{1}{s} + K_d s$$

Pierwszym etapem metody Zieglera-Nicholsa jest wyznaczenie wzmocnienia krytycznego K , dla którego sygnał wyjściowy utrzymuje się na poziomie oscylacji, wokół wartości zadanej, ze stałą amplitudą. Przy parametrach $K_i, K_d = 0$ stopniowo zwiększamy wartość parametru K_p aż do wystąpienia oscylacji niegasnących o stałej amplitudzie. Dla tak wyznaczonego wzmocnienia odczytujemy również okres oscylacji T_{osc} . Wyznaczone parametry wynoszą:

$$K_{kr} = 0.6314$$

$$T_{osc} = 17$$

Posiadając wzmocnienie krytyczne i okres oscylacji możemy obliczyć pozostałe parametry na podstawie tabelki: Wynoszą one :

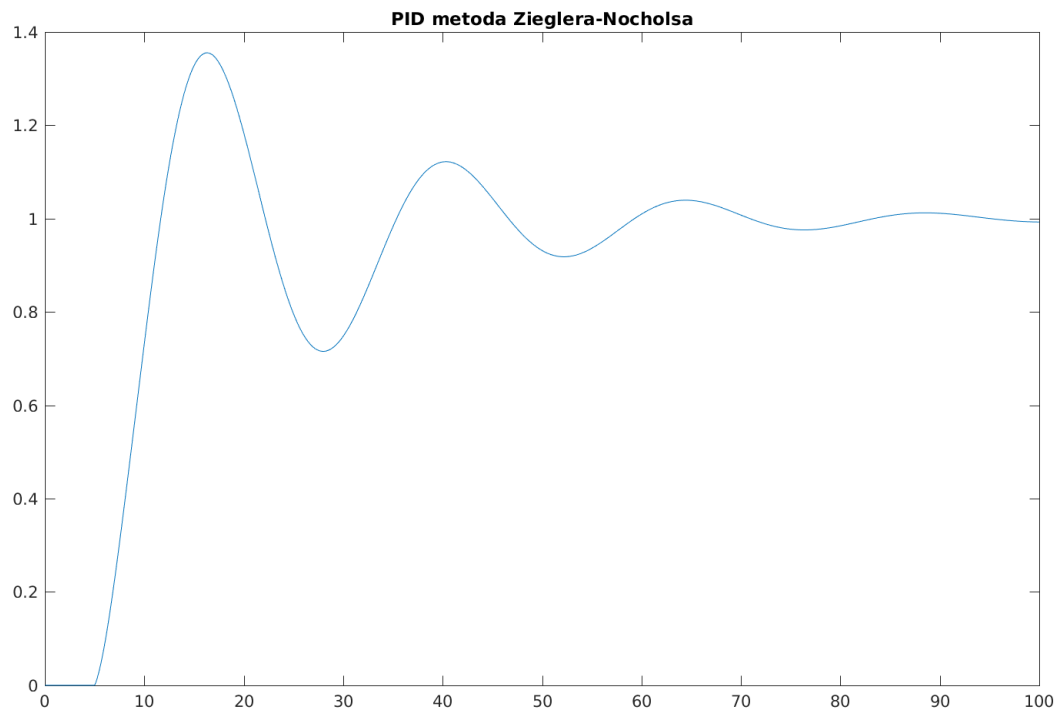
Tablica 1: Tabela nastaw PID

	K_p	K_i	K_d
P	$0.5K_{kr}$		
PI	$0.45K_{kr}$	$\frac{1.2K_p}{T_{osc}}$	
PID	$0.6K_{kr}$	$\frac{2K_p}{T_{osc}}$	$\frac{8K_p}{T_{osc}}$

$$K_p = 0.37884$$

$$K_i = 0.03714$$

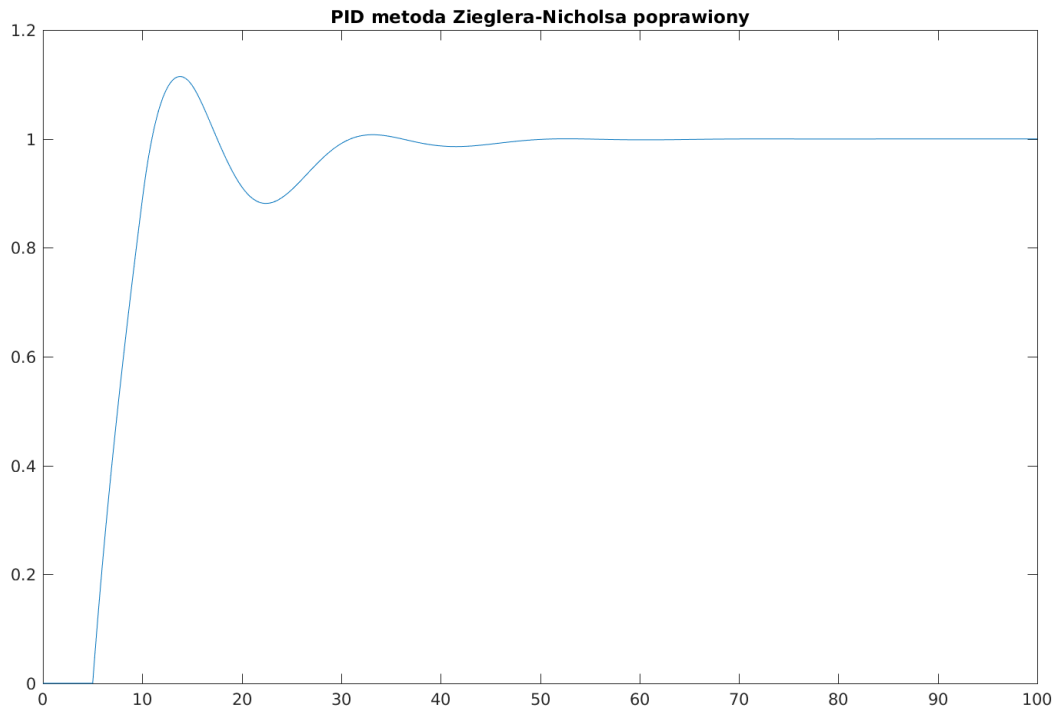
$$K_d = 0.14856$$



Rysunek 2: Odpowiedź układu na skok jednostkowy z wybranymi parametrami

Wyznaczone metodą Zieglera-Nicholsa parametry nie zapewniły dostatecznie dobrej regulacji, w celu poprawy zostało delikatnie zmniejszone wzmocnienie regulatora oraz kilkukrotnie zwiększono stałą różniczkowania, co zapewniło następujące rezultaty:

$$\begin{aligned}K_p &= 0.35 \\K_i &= 0.035 \\K_d &= 0.7\end{aligned}$$



Rysunek 3: Odpowiedź układu na skok jednostkowy z dostrojonymi parametrami

4.1 Dyskretny regulator PID

Transmitancja dyskretnego regulatora PID ma następującą postać:

$$R(z) = \frac{r_2 z^{-2} + r_1 z^{-1} + r_0}{1 - z^{-1}}$$

Korzystając z przekształcenia transformaty Z otrzymujemy następujące równanie:

$$R(z) = \frac{(K_p + K_d) + (K_i T_p - K_p - 2K_d)z^{-1} + K_d z^{-2}}{1 - z^{-1}}$$

Porównując z ogólną postacią transmitancji dyskretniej otrzymujemy wartości parametrów:

$$\begin{aligned} r_2 &= K_d \\ r_1 &= K_i T_p - K_p - 2K_d \\ r_0 &= K_p + K_d \end{aligned}$$

Co po podstawieniu wyznaczonych nastaw daje:

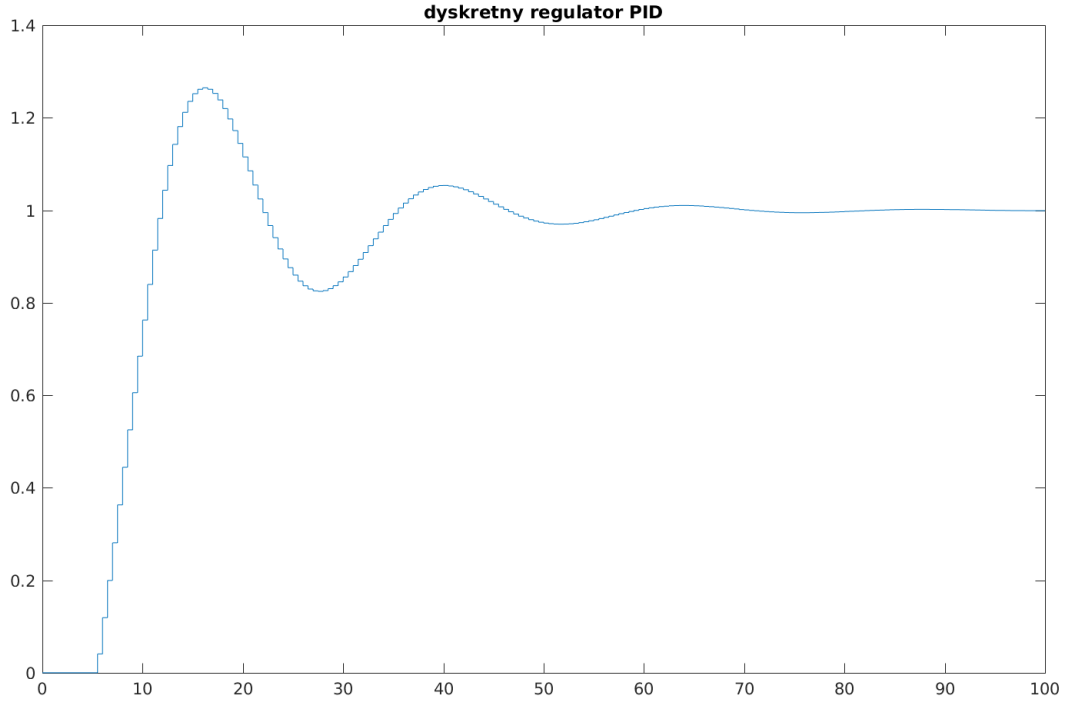
$$\begin{aligned} r_2 &= 0.14856 \\ r_1 &= -0.672246 \\ r_0 &= 0.5274 \end{aligned}$$

Okres próbkowania T_p wynosi $0.5s$

5 Symulacja cyfrowego algorytmu PID oraz DMC

5.1 Symulacja dyskretnego algorytmu PID

Implementacja symulacji dyskretnego algorytmu PID znajduje się w pliku **PID.m**. Skrypt został wykorzystany w poprzednim podpunkcie.



Rysunek 4: Odpowiedź układu na skok jednostkowy w przypadku regulatora dyskretnego

5.2 Symulacja algorytmu DMC w wersji analitycznej

Rozwiązanie analityczne algorytmu regulacji DMC(Dynamic Matrix Control) ma następującą postać:

$$\Delta u = (M^T M + \lambda I)^{-1} M^t (y^{zad} - y^k - M^p \Delta u^p)$$

Parametry algorytmu wyznaczamy z odpowiedzi skokowej rys: 1, skorzystamy w tym celu z równania 1 modelu wyznaczonego w podpunkcie 3. Z wartości odpowiedzi skokowej układu w poszczególnych chwilach czasu wyznaczamy macierz M oraz M^p . Wartość sygnału wyjściowego opisuje równanie:

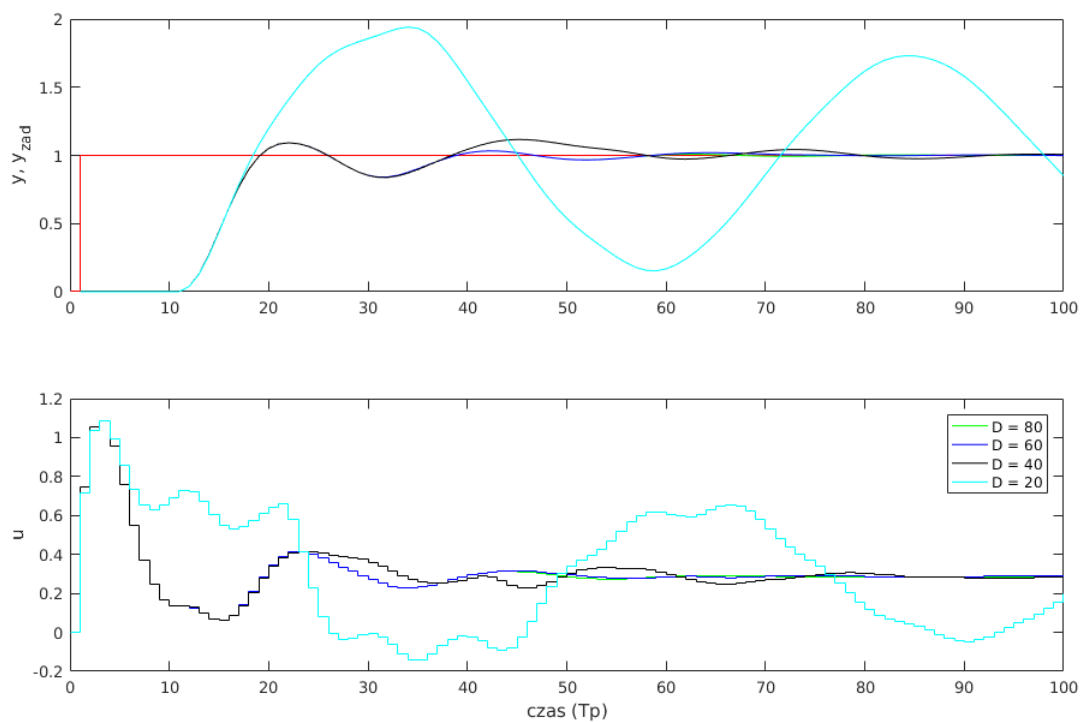
$$y = y^0 + M \Delta u = y^k + M^p \Delta u^p + M \Delta u$$

Skrypt pakietu matlab znajduje się w pliku **DMC.m**. Są w nim zdefiniowane niezbędne parametry algorytmu takie jak: horyzont predykcji, horyzont dynamiki, horyzont sterowania oraz wskaźnik jakości λ .

6 Dobór parametrów algorytmu DMC

6.1 Parametry początkowe

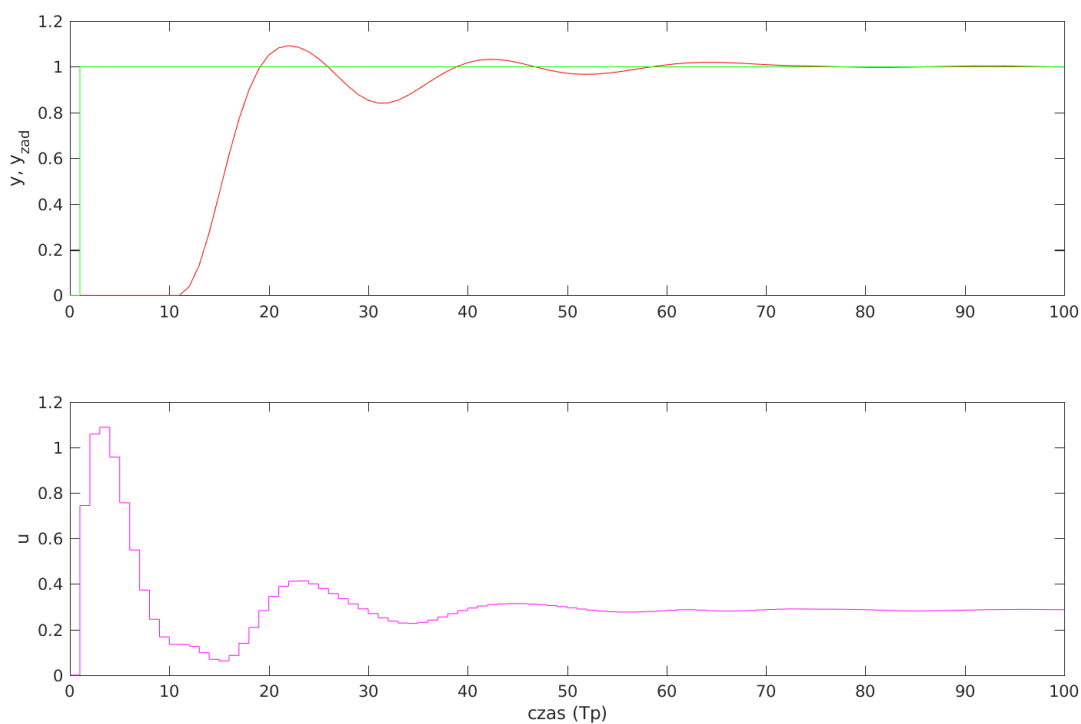
Horyzont dynamiki określamy na podstawie odpowiedzi skokowej rys: 1 i jest on numerem iteracji w której następuje ustalenie się sygnału odpowiedzi skokowej. W przypadku zadania jest to 40-sta sekunda symulacji czyli 80-ty krok symulacji, ponieważ okres próbkowania wynosi pół sekundy. Przyjmując taki horyzont predykcji otrzymujemy: $D = N = N_u = 80$ Jako wartość parametru λ przyjmujemy 1, aby nie wpływał on znacząco na symulację.



Rysunek 5: Sterowanie dla wyznaczonego horyzontu predykcji

6.2 Skracanie horyzontu predykcji

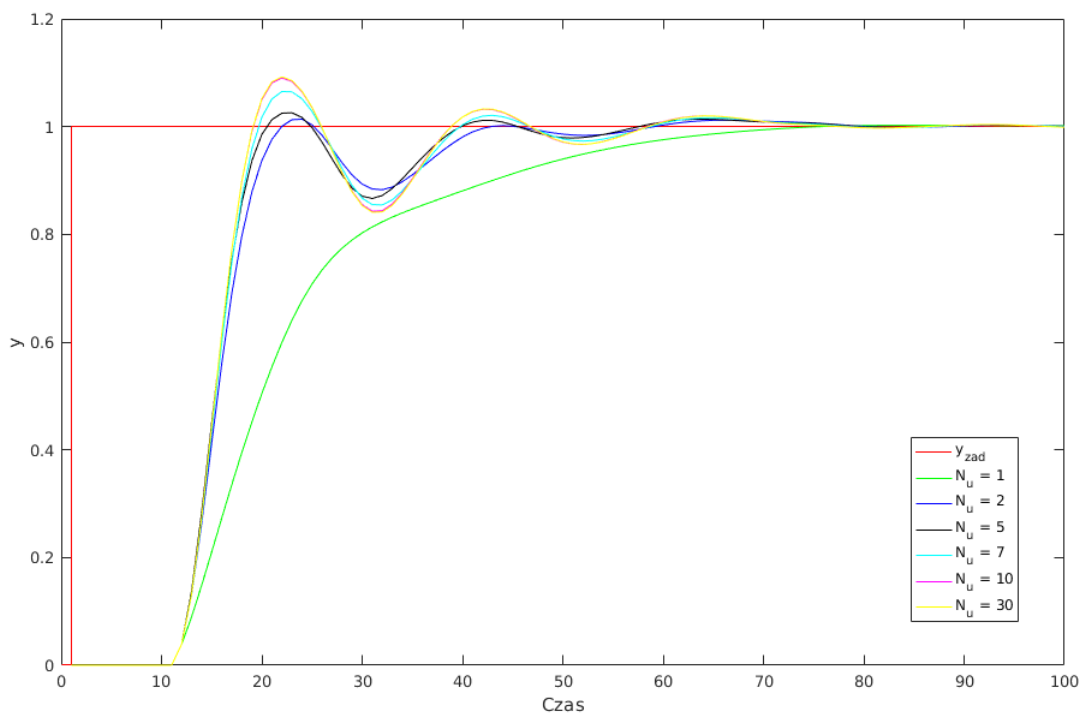
Najmniejsza wartość horyzontu predykcji dla której nie następuje pogorszenie regulacji wynosi 60. Poniżej wykres dla kilku wartości horyzontu predykcji.



Rysunek 6: Zmniejszony horyzont predykcji

6.3 Wpływ długości horyzontu sterowania

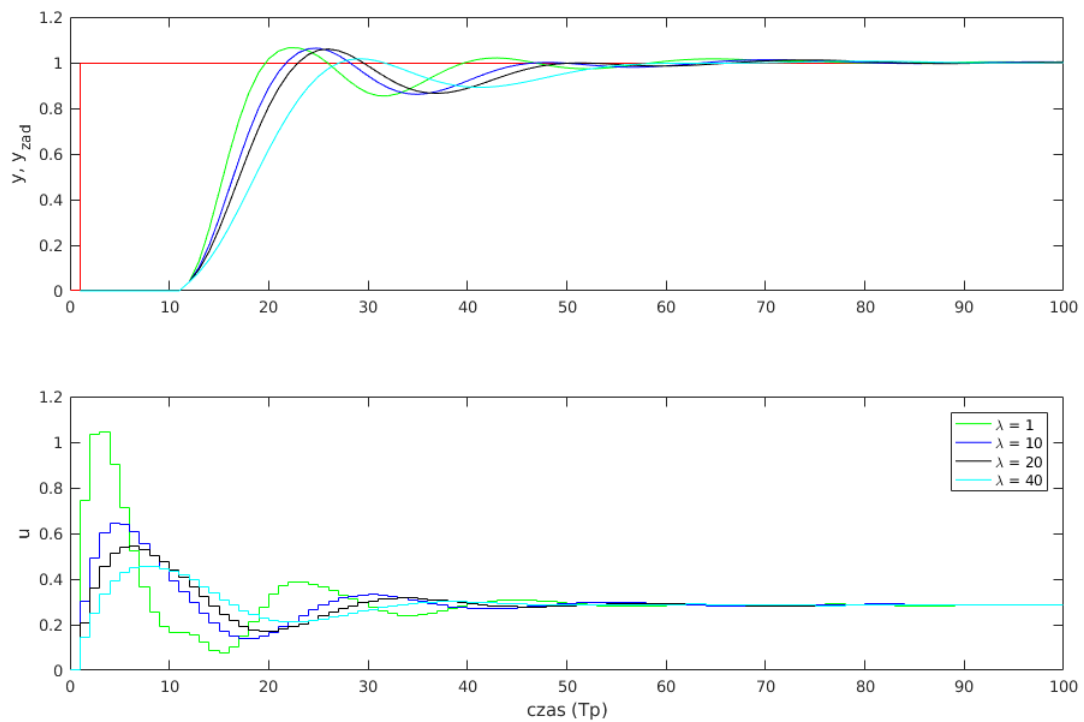
Symulując algorytm regulacji dla różnych wartości horyzontu sterowania, począwszy od wartości 1, i obserwując jakość sterowania, wartość została określona jako 7, poniżej zeswatanie kilku symulacji o różnych wartościach współczynnika. Dla większych wartości nie następuje znaczna poprawa a wręcz pogorszenie, natomiast dla mniejszych wartości, czas regulacji zaczyna się wydłużać.



Rysunek 7: Zestawienie regulacji dla różnych wartości horyzontu sterowania

6.4 Parametr kary λ

Współczynnik λ jest wskaźnikiem jakości regulacji i pełni funkcję kary za przeregulowanie. Im większa jego wartość tym łagodniej będzie się zmieniał sygnał sterujący. Poniżej kilka wykresów dla różnych parametrów λ . Dla początkowej wartości równej 1, obserwujemy gwałtowny skok sterowania który może być niedopuszczalny w wielu rzeczywistych systemach regulacji. Wartość współczynnika która zapewnia stosunkowo łagodny przebieg sygnału sterującego oraz akceptowalny czas regulacji jest $\lambda = 10$



Rysunek 8: Wykres dla różnych wartości współczynnika kary

6.5 Parametry dostrojonego regulatora DMC

Ostatecznie wybrane nastawy regulatora DMC:

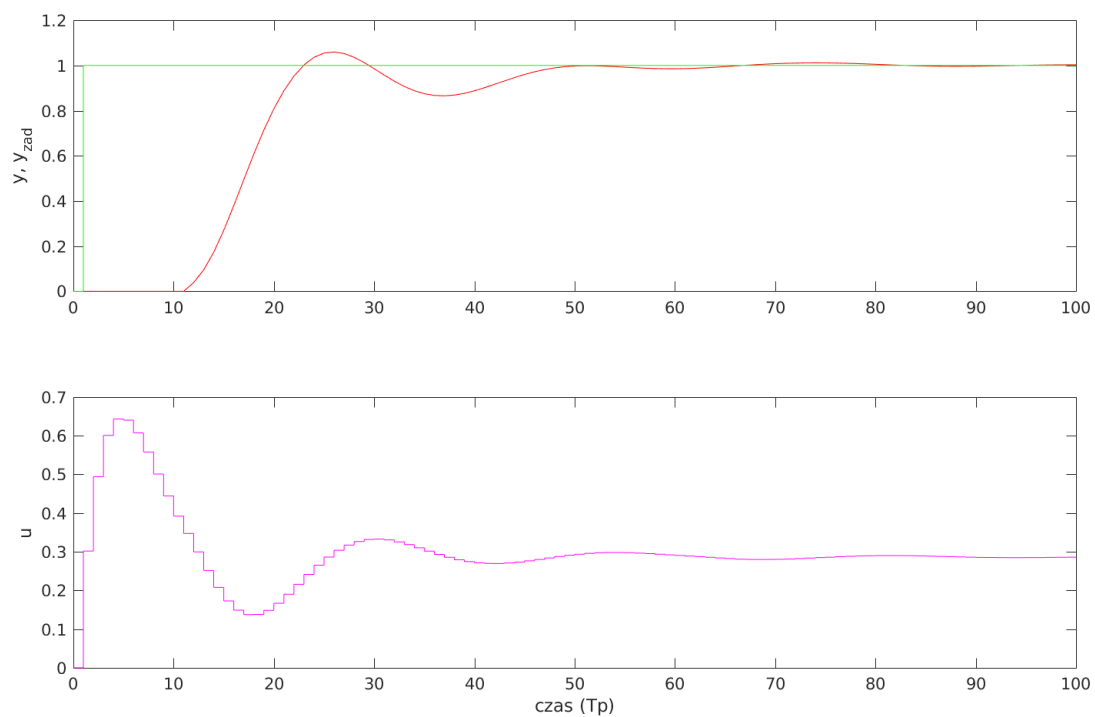
horyzont predykcji: $N = 60$

horyzont dynamiki: $D = 60$

horyzont sterowania: $N_u = 7$

wzkaźnik jakości: $\lambda = 10$

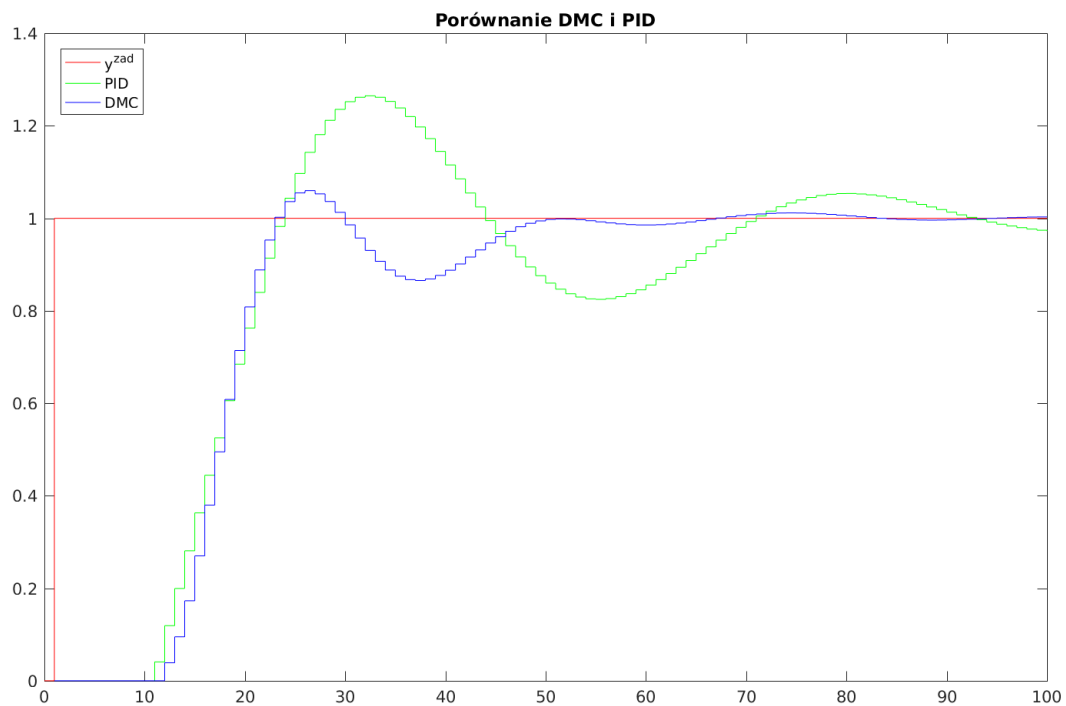
Programy wykorzystane do obliczeń fdmc.m, ddmc.m, oraz do generowania wykresów: DMCwykresy.m



Rysunek 9: Działanie dostrojonego regulatora DMC

7 Obszary stabilności

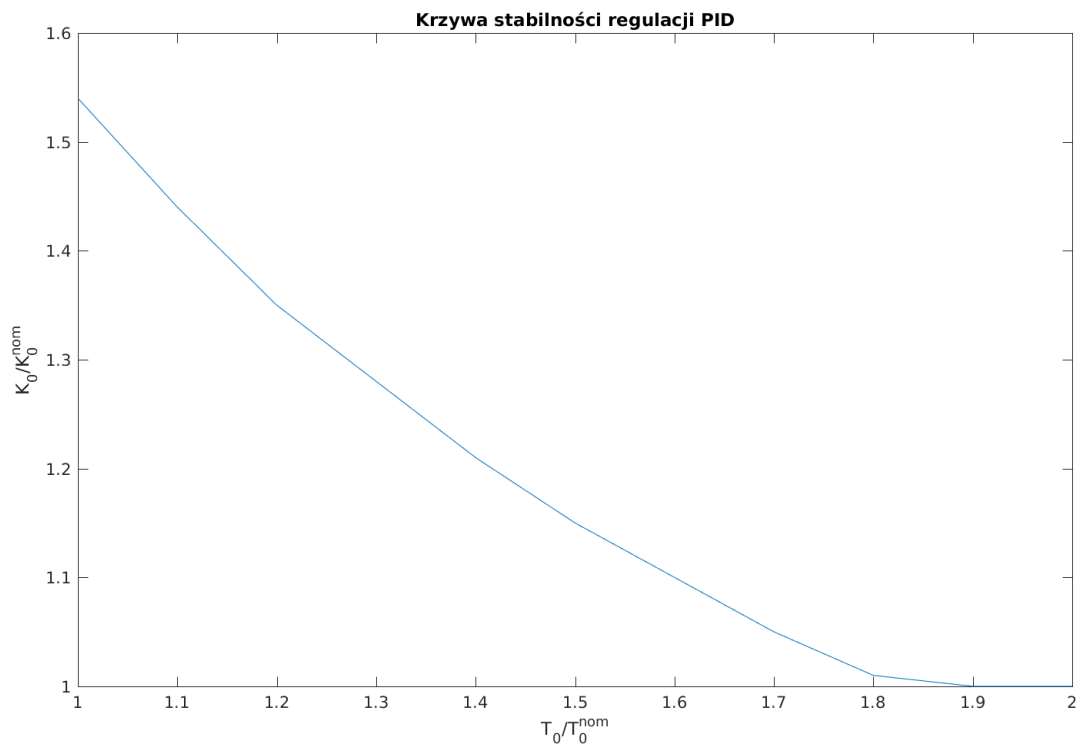
7.1 Porównanie algorytmów PID i DMC



Rysunek 10: Porównanie PID i DMC

Porównując odpowiedzi skokowe obu algorytmów sterowania zauważamy znacznie szybsze osiągnięcie wartości zadanej przez regulator DMC. Biorąc pod uwagę przeregulowanie jak i wartość sygnału sterującego, można z pewnością stwierdzić, że algorytm DMC jest bardziej optymalny dla tego obiektu.

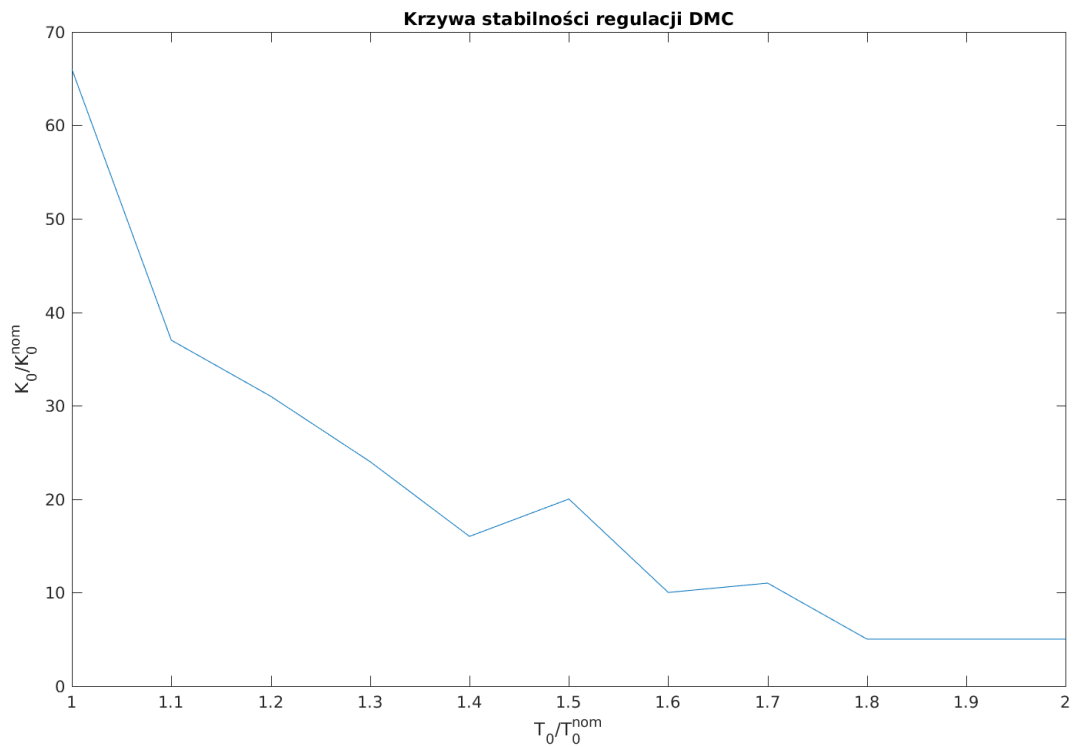
7.2 Stabilność cyfrowego redulatora PID



Rysunek 11: Obszary stabilności algorytmu PID dla różnych wartości wzmocnienia K i opóźnienia T

Wraz ze wzrostem opóźnienia, maleje maksymalne wzmocnienie dla którego układ nie wpada w oscylacje, możliwość zmian parametrów w stosunku do początkowej jest niewielka. Algorytm PID szybko ulega rozregulowaniu nawet dla niewielkich zmian parametrów.

7.3 Stabilność regulacji DMC



Rysunek 12: Obszary stabilności algorytmu DMC dla różnych wartości wzmocnienia K i opóźnienia T

Algorytm DMC jest zdecydowanie bardziej odporny na zmiany parametrów, przy małych zmianach opóźnienia możemy zwiększać wzmocnienie o rzędy wielkości, zachowując szybkość regulacji. Świadczy to o wysokiej stabilności regulacji DMC i sprawia że znajduje on szerokie zastosowanie w sytuacjach, gdzie mamy do czynienia z dynamicznymi zmianami parametrów obiektu. W porównaniu do algorytmu PID, wypada zdecydowanie lepiej.